

01;07

Кроссполяризация света на границе раздела „диэлектрик—биизотропная среда“

© Д.Г. Санников

Ульяновский государственный университет

E-mail: sannikov@sv.ulsu.ru

Поступило в Редакцию 11 августа 2008 г.

Решена задача об отражении и преломлении наклонно падающих плоских электромагнитных волн ТЕ и ТМ поляризации на границе раздела „диэлектрик—биизотропная среда“. Получены условия для углов Брюстера, при которых поле отраженной волны содержит лишь кроссполяризованную компоненту. Исследовано влияние параметров киральности и невязимности на значения коэффициентов отражения. Показано, что появление кроссполяризации, отраженной от биизотропной среды волны, обусловлено, кроме киральности, также наличием невязимности.

PACS: 41.20.-q, 78.20.Ci

Электродинамические свойства киральных и биизотропных сред активно исследуются с конца 80-х гг. прошлого века до настоящего времени [1–4], что во многом связано с успехами в создании композитных сред, структурированных в микроскопическом и нанометровом масштабе. В оптически активных средах, за исключением жидких кристаллов, киральность проявляется слабо, тогда как в СВЧ-диапазоне значение кирального параметра может достигать значений порядка единиц. Биизотропные среды являются обобщением случая киральных сред и, кроме киральности, обладают также свойством невязимности, что делает их весьма перспективными в прикладном отношении. Так, при интерференции встречных волн в биизотропной среде возможна ситуация, когда полный энергетический поток взаимодействующих волн равен интерференционному (осциллирующему) потоку, что можно использовать при создании статических и динамических брэгговских решеток [5]. Для нахождения материальных параметров биизотропной среды в работе [6] предложен метод, основанный на измерении угла

Брюстера в СВЧ-диапазоне. Применение этого метода требует использования обобщенных коэффициентов Френеля для электромагнитной волны заданной поляризации, падающей на образец из неизвестного композитного материала.

В настоящей работе на основе точного решения уравнений Максвелла проводится теоретический анализ особенностей наклонного падения плоских электромагнитных волн ТЕ и ТМ поляризаций на границу раздела „диэлектрик–биизотропная среда“, а также рассматривается влияние параметров киральности и невязимности на коэффициенты отражения и углы Брюстера.

Биизотропная среда может быть охарактеризована четырьмя материальными параметрами: скалярными диэлектрической ϵ и магнитной μ проницаемостями, которые являются комплексными величинами при наличии потерь в среде, а также скалярными вещественными параметрами киральности κ и невязимности χ . Материальные уравнения, связывающие напряженности \mathbf{E} , \mathbf{H} и индукции \mathbf{D} , \mathbf{B} электрического и магнитного полей в биизотропной среде, имеют вид [3,5]:

$$\mathbf{D} = \epsilon \mathbf{E} + \tilde{\chi}^* \mathbf{H}, \quad \mathbf{B} = \mu \mathbf{H} + \tilde{\chi} \mathbf{E}, \quad (1)$$

где $\tilde{\chi} = \chi + i\kappa$, а знак „*“ означает комплексное сопряжение. Невязимную среду при $\kappa = 0$ принято называть средой Теллегена, а киральную взаимную ($\chi = 0$) — средой Пастера [6]. Значение параметра невязимности в естественных средах мало (например, в кристалле Cr_2O_3 на оптических частотах получены значения $\chi \cong 10^{-4}$ [7]), однако может быть увеличено за счет правильного комбинирования электромагнитных частиц в композите [8].

Считая распределения электрического и магнитного полей вдоль осей x и y однородными, из уравнений Максвелла с учетом (1) можно получить волновые уравнения для собственных волн, распространяющихся вдоль оси z [1]:

$$\frac{\partial^2 F_{R,L}}{\partial z^2} + \kappa_{R,L}^2 F_{R,L} = 0, \quad (2)$$

где $F_{R,L} = F_x \pm iF_y \equiv (E_{R,L}, H_{R,L})$, верхний и нижний знаки отвечают право- (R) и лево- (L) циркулярно-поляризованной волнам. Собственные волны в (2) имеют постоянные распространения

$$\kappa_{R,L} = \kappa_0 n_{R,L} = \kappa_0 (\sqrt{n - \chi^2} \pm \kappa), \quad n = \sqrt{\epsilon \mu}, \quad (3)$$

где $n_{R,L}$ — соответствующие им показатели преломления, $\kappa_0 = \omega/c$ — волновое число в вакууме, c — скорость света. Электромагнитное поле в биизотропной среде представляется в виде суперпозиции полей Бельтрами [1,4]:

$$\mathbf{E} = \mathbf{E}_R + \mathbf{E}_L, \quad \mathbf{H} = \mathbf{H}_R + \mathbf{H}_L = i\xi_2 [\mathbf{E}_R \exp(i\theta_\chi) - \mathbf{E}_L \exp(-i\theta_\chi)]. \quad (4)$$

Здесь угол $\theta_\chi = \arcsin(\chi/n)$, а волновой импеданс биизотропной среды $\xi_2 = \sqrt{\mu/\varepsilon}$.

Пусть граница раздела двух сред лежит в плоскости xu , в области $z < 0$ находится диэлектрик с постоянными в рассматриваемом частотном диапазоне диэлектрической и магнитной проницаемостями ε_1 и μ_1 , а область $z > 0$ занимает биизотропная среда. Рассмотрим плоскую монохроматическую волну частоты ω , падающую на границу раздела под углом θ к оси z . В общем случае можно разложить ее на две волны: ТЕ (вектор \mathbf{E} перпендикулярен плоскости падения xz) и ТМ (\mathbf{E} параллелен плоскости xz) поляризацій и рассматривать отражение каждой из них в отдельности.

Касательные компоненты полей падающей на границу ТЕ волны единичной амплитуды можно представить в следующем виде:

$$E_y^i = \exp[-i\kappa_0 n_1 (x \sin \theta + z \cos \theta)],$$

$$H_x^i = -\xi_1^{-1} \cos \theta \exp[-i\kappa_0 n_1 (x \sin \theta + z \cos \theta)], \quad (5)$$

где $\xi_1 = \sqrt{\mu_1/\varepsilon_1}$ — волновой импеданс диэлектрика.

Известно [9], что при отражении от среды, состоящей из большой совокупности киральных элементов, плоская электромагнитная волна становится эллиптически поляризованной. Для падающей ТЕ волны тангенциальные составляющие отраженных основной (ТЕ) и кросс-поляризованной (ТМ) компонент соответственно имеют вид:

$$E_y^r = r_{ee} \exp[-i\kappa_0 n_1 (x \sin \theta - z \cos \theta)], \quad H_x^r = \xi_1^{-1} \cos \theta E_y^r;$$

$$H_y^r = r_{eh} \exp[-i\kappa_0 n_1 (x \sin \theta - z \cos \theta)], \quad E_x^r = -\xi_1 \cos \theta H_y^r. \quad (6)$$

Здесь r_{ee} и r_{eh} — амплитудные коэффициенты основной и кросс-поляризованной компонент поля отраженной волны.

Найдем тангенциальные составляющие электромагнитного поля преломленных волн в биизотропной среде, распространяющихся под

углами θ_R и θ_L к оси z . На границе раздела $z = 0$ фазы волн должны быть одинаковы для любого x , поэтому

$$n_{R,L} \sin \theta_{R,L} = n_1 \sin \theta. \quad (7)$$

Из (3) и (7) следует, что угол преломления θ_R правополяризованной волны меньше, чем угол θ_L левополяризованной. Критические углы падения $\theta_{R,L}^{cr}$, при которых в биизотропной среде без потерь возникает полное внутреннее отражение для каждой из собственных волн, определяются соотношением

$$\theta_{R,L}^{cr} = \arcsin[(\sqrt{\varepsilon\mu - \chi^2} \pm \kappa)/n_1]. \quad (8)$$

При зависимости полей от поперечной x и продольной z координат решения 2-мерного скалярного уравнения Гельмгольца для собственных волн в биизотропной среде имеют вид:

$$E_{R,L} = t_{R,L}^\perp \exp[-i\kappa_{R,L}(x \sin \theta_R + z \cos \theta_L)], \quad (9)$$

где $t_{R,L}^\perp$ — амплитудные коэффициенты прохождения собственных волн. Связь между касательными компонентами электрического и магнитного полей находится из соотношений Максвелла:

$$\begin{aligned} E_x &= -\frac{1}{i\kappa_0(\varepsilon\mu - |\tilde{\chi}|^2)}(\mu\partial_z H_y + \tilde{\chi}^* \partial_z E_y); \\ H_x &= \frac{1}{i\kappa_0(\varepsilon\mu - |\tilde{\chi}|^2)}(\varepsilon\partial_z E_y + \tilde{\chi} \partial_z H_y). \end{aligned} \quad (10)$$

Поле в биизотропной среде удобнее выразить в виде линейной комбинации полей собственных волн; по определению, $E_y = (E_R - E_L)/2i$, $H_y = (H_R - H_L)/2i$, поэтому, используя (4) и (10), находим:

$$\begin{aligned} E_x &= t_R^\perp \cos \theta_R + t_L^\perp \cos \theta_L, \\ H_x &= i\xi_2^{-1} [t_R^\perp \cos \theta_R \exp(i\theta_\chi) - t_L^\perp \cos \theta_L \exp(-i\theta_\chi)]. \end{aligned} \quad (11)$$

Учет граничных условий для касательных составляющих электрического и магнитного полей позволяет получить следующие амплитудные коэффициенты:

$$\begin{aligned} r_{ee} &= (g_2 - g_1 + g_3 - g_4)/G, \\ r_{eh} &= 2i\xi_2 \cos \theta [\cos \theta_L \exp(i\theta_\chi) - \cos \theta_R \exp(-i\theta_\chi)]/G, \\ t_{R,L}^\perp &= \pm 2i\xi_2 \cos \theta [\xi_2 \cos \theta_{L,R} + \xi_1 \cos \theta \exp(\mp i\theta_\chi)]/G, \end{aligned} \quad (12)$$

где использованы вспомогательные параметры:

$$g_{1,2} \equiv \xi_{1,2}^2 \cos \theta (\cos \theta_R + \cos \theta_L), \quad g_3 \equiv 2\xi_1 \xi_2 \cos^2 \theta \cos \theta_\chi,$$

$$g_4 \equiv 2\xi_1 \xi_2 \cos \theta_R \cos \theta_L \cos \theta_\chi, \quad G = g_1 + g_2 + g_3 + g_4.$$

Для ТМ волны, падающей из диэлектрика на биизотропную среду, получаем:

$$r_{hh} = (g_1 - g_2 + g_3 - g_4)/G,$$

$$r_{he} = -2i\xi_1^2 \xi_2 \cos \theta [\cos \theta_L \exp(-i\theta_\chi) - \cos \theta_R \exp(i\theta_\chi)]/G,$$

$$t_{R,L}^{\parallel} = 2\xi_1 \xi_2 \cos \theta [\xi_1 \cos \theta_{L,R} \exp(\mp i\theta_\chi) + \xi_2 \cos \theta]/G. \quad (13)$$

Соотношения (12) и (13) представляют собой формулы Френеля для случая падения ТЕ и ТМ волн на границу „диэлектрик–биизотропная среда“, которые в предельном случае $\chi = \kappa = 0$ сводятся к известным формулам Френеля для наклонно падающих волн [10]. Анализ показывает, что кроссполяризованные компоненты отраженных от биизотропной среды волн не исчезают, т.е. $r_{eh} \neq 0$, $r_{he} \neq 0$ при любых ненулевых κ и χ , а отраженные основные компоненты поперечной и продольной поляризаций исчезают при условии

$$2\xi_1 \xi_2 \cos \theta_\chi (\cos^2 \theta - \cos \theta_R \cos \theta_L) \pm (\xi_2^2 - \xi_1^2) \cos \theta (\cos \theta_R + \cos \theta_L) = 0, \quad (14)$$

где верхний и нижний знаки отвечают случаям $r_{ee} = 0$ и $r_{hh} = 0$. Фактически соотношение (14) определяет значения углов Брюстера, при которых поле отраженной волны содержит лишь кроссполяризованную компоненту.

На рис. 1 показаны зависимости модулей амплитудных коэффициентов отражения основной и кроссполяризованной компонент поля от угла падения для ТЕ (а) и ТМ (б) волн. Из рис. 1 следует, что появление невзаимности в изотропной среде приводит к возникновению кроссполяризованных компонент r_{eh} и r_{he} (пунктирные кривые 2) и увеличению угла Брюстера θ_B^\perp . С прикладной точки зрения заслуживает внимания тот факт, что кроссполяризованная компонента при этом остается постоянной практически во всей области $0 < \theta < 90^\circ$. Наличие киральности меняет картину отражения: явление Брюстера возникает уже не для ТМ, а для ТЕ падающей волны ($\theta_B^\perp \cong 36.3^\circ$);

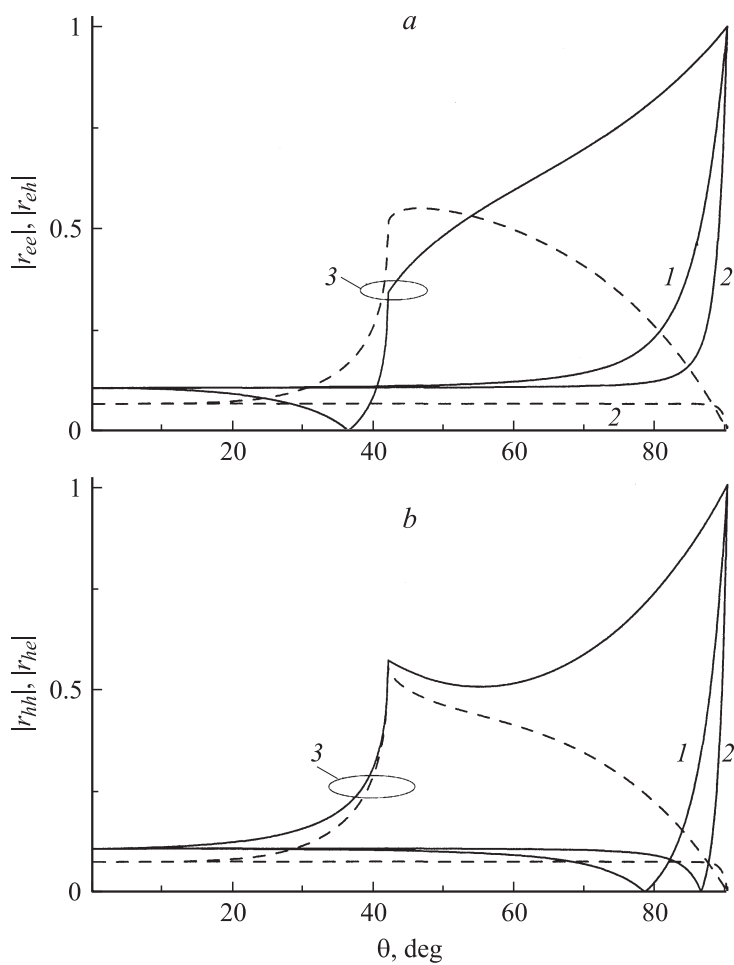


Рис. 1. Зависимости модулей амплитудных коэффициентов отражения основной (сплошные кривые) и кроссполяризованной (пунктирные кривые) компонент поля от угла падения для ТЕ (*a*) и ТМ (*b*) волн. $\varepsilon_1 = 2.0$, $\mu_1 = 2.2$, $\varepsilon = 2.5$, $\mu = 1.8$; $\chi = \kappa = 0$ (диэлектрик, кривые 1), $\kappa = 0$, $\chi = 0.3$ (среда Теллегена, кривые 2), $\kappa = 0.7$, $\chi = 0.3$ (биизотропная среда, кривые 3).

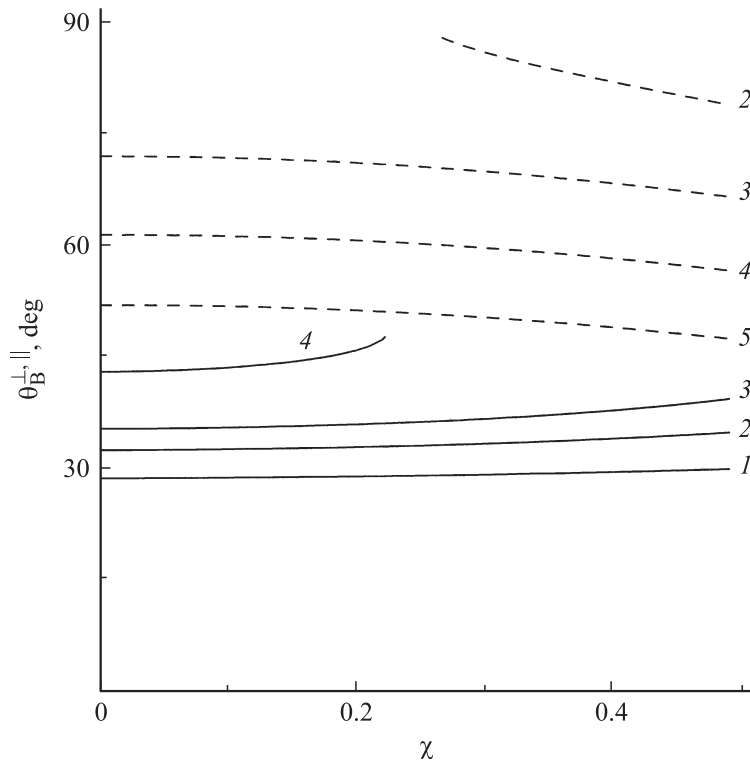


Рис. 2. Зависимости углов Брюстера θ_B^{\perp} (сплошные кривые) и θ_B^{\parallel} (пунктирные кривые) от параметра невзаимности. $\epsilon_1 = 2.5$, $\mu_1 = 1.5$, $\epsilon = 3.0$, $\mu = 2.0$, $\kappa = 0$, 0.5, 0.6, 0.7, 0.8 (кривые 1–5 соответственно).

вблизи критического угла, где происходит полное внутреннее отражение левополяризованной волны ($\theta_L^{cr} \cong 48.9^\circ$), наблюдаются максимумы кривых $|r_{eh}|$ и $|r_{he}|$, а увеличение θ сопровождается спадом до нуля кроссполяризованных компонент отраженных волн. Разница между основной и кроссполяризованной компонентами отраженной волны максимальна в области больших значений угла падения.

На рис. 2 представлены найденные с помощью (14) зависимости углов Брюстера от параметра невзаимности, отвечающие случаю

$r_{ee} = r_{hh} = 0$ для волн, падающих из диэлектрика ($\epsilon_1 = 2.5$, $\mu_1 = 1.5$) на биизотропную среду с $\epsilon = 3.0$, $\mu = 2.0$ и значениями $\kappa = 0, 0.5, 0.6, 0.7, 0.8$ (кривые 1–5). Видно, что рост значения χ приводит к увеличению угла Брюстера для падающей ТЕ волны (сплошные кривые) и к его уменьшению для ТМ волны (пунктирные кривые) в пределах нескольких градусов. В первом случае параметр киральности увеличивает значение θ_B^\perp , а во втором — наоборот, снижает θ_B^\parallel . Зависимость углов Брюстера при прочих равных условиях проявляется сильнее от параметра киральности, чем от параметра невзаимности. Важным результатом является возможность одновременного существования углов Брюстера θ_B^\perp и θ_B^\parallel при фиксированном параметре χ (кривые 2–4).

Список литературы

- [1] Lindell I.V., Sihvola A.H., Tretyakov S.A., Viitanen A.J. Electromagnetic waves in chiral and biisotropic media. London: Artech House, 1994.
- [2] Каценеленбаум Б.З., Коршунова Е.Н., Сивов А.Н., Шатров А.Д. // УФН. 1997. Т. 167. В. 11. С. 1201–1212.
- [3] Сихвола А., Третьяков С.А., де Баас А. // РЭ. 2007. Т. 52. № 9. С. 1066–1071.
- [4] Неганов В.А., Осипов О.В. Отражающие, волноведущие и излучающие структуры с киральными элементами. М.: Радио и связь, 2006.
- [5] Санников Д.Г., Семенцов Д.И. // Письма в ЖТФ. 2007. Т. 33. В. 23. С. 19–26.
- [6] Sihvola A.H., Lindell I.V. // IEEE MTT-S Digest. 1992. AA-7. P. 1135–1138.
- [7] Krichevskov B.B., Pavlov V.V., Pisarev R.V., Gridnev V.N. // J. Phys.: Condens. Matter. 1993. V. 5. Is. 44. P. 8233–8244.
- [8] Qiu C.W., Zouhdi S. // Phys. Rev. B. 2007. V. 75. P. 19601-3.
- [9] Шевченко В.В. // РЭ. 1995. Т. 40. № 12. С. 1777–1789.
- [10] Вайнштейн В.А. Электромагнитные волны. М.: Радио и связь, 1990.